

تحضير أغشية SiCN الرقيقة من تفاعل الطور الغازي المحدث بليزر TEA-CO₂ ودراسة خصائصها البصرية

ماجدة علي أمين * أنوار علي باقر * د. حمد رحيم العزاوي ** د. عدنان صالح محمد *

* جامعة بغداد - كلية العلوم للبنات

** هيئة التصنيع العسكري - شركة الرازى العامة

الخلاصة:

في هذا البحث ، تم تحضير أغشية SiCN بطريقة التفكك الضوئي لغاز السيلانين SiH_4 والاثلين C_2H_4 بوجود غاز الأمونيا NH_3 وبعدم وجوده والذي يمثل بقيمة العامل (X) الذي يأخذ القيم (0.33, 0.13, 0) والذي يمثل النسبة بين ضغط غاز NH_3 ومجموع ضغوط غازات (C_2H_4, SiH_4) باستخدام ليزر TEA-CO₂ ، تم ترسيب الأغشية على أرضيات من الزجاج بدرجة حرارة NH_3 ($375^{\circ}C$) وبمعدل ترسيب تراوح بين $nm/pulse$ (0.833-0.416) وسمك تراوح بين 1000-500 nm . تمت دراسة الخواص البصرية من خلال نتائج طيف الامتصاصية والنفاذية في مدى الأطوال الموجية nm (400-1100) ، وقد تبين من القياسات البصرية إن الانتقالات الإلكترونية هي انتقالات غير مباشرة ، وان فجوة الطاقة البصرية للأغشية SiCN تزداد بزيادة المحتوى النتروجيني العامل (X) للأغشية المحضرة ، كما وجد أن الأغشية تميل إلى الشفافية عند الضغوط العالية لغاز الأمونيا .

In this paper , silicon carbonitried thin films were prepared by the method of photolysis of the silane (SiH_4) and ethylene (C_2H_4) gases , with and without ammonia gas (NH_3) , which is represented by the ratio between the (P_{NH_3}) and ($P_{SiH_4} + P_{C_2H_4} + P_{NH_3}$) , (which assign by the letter X) , X has the values (0 , 0.13 , 0.33) . This method carried out by using TEA-CO₂ laser , on glass substrate at ($375^{\circ}C$) , deposition rate (0.416-0.833) nm/pulse thin film thickness of (500-1000) nm . The optical properties of the films were studied by using Absorbance and Transmittance spectrums in wavelength range of (400-1100) nm , the results showed that the electronic transitions is indirect and the energy gap for the SiCN films increase with increasing of nitrogen content (X parameter) , as the films tend to be transparent at higher ammonia gas pressures.

الجزء العملي:

استخدمت منظومة الليزر الحاث على ترسيب البخار كيميائياً [الشكل (١)] لتحضير أغشية (SiCN)، إذ تتالف هذه المنظومة من:-

جهاز ليزر TEA-CO₂، خلية الترسيب، منظومة التفريغ، مقياس الطاقة، مقياس الضغط المطلق، مسخن، قناني الغازات المستخدمة، رسيب الأغشية على أرضيات من الزجاج بسمك تراوح بين ٥٠٠-١٠٠٠ nm [والذي تم قياسه باستخدام طريقة المجهر الإلكتروني الماسح (Scanning Electron Microscopy (SEM)) لمعدل ترسيب تراوح بين (0.833-0.146) nm/pulse (تم قياس معدل الترسيب من حاصل قسمة سك الغشاء على عدد نبضات الليزر التي استخدمت لترسيب الغشاء) والجدول (١) يوضح ظروف الترسيب المختارة .

جدول رقم (١)

| | |
|--------------------|---|
| ٣٧٥ °C | درجة حرارة الأساس |
| (٧٥ ,٦٥ , ٥٠) mbar | ضغط غازي C ₂ H ₄ , SiH ₄ |
| (٥٠ ,٢٠ ,٠) mbar | ضغط غاز NH ₃ |
| ١٥٠ mbar | الضغط الكلي |
| ١٢٠٠ نبضة | عدد نبضات الليزر |
| ١.٥ J | طاقة نبضة الليزر |

وُحدَّد العامل (X) (الذي يمثل نسبة النتروجين في الأغشية) وفق العلاقة الآتية :-

$$X = \frac{P_{NH_3}}{P_{SiH_4} + P_{C_2H_4} + P_{NH_3}} \quad \text{---(١)}$$

حيث :

NH₃ : ضغط غاز الأمونيا P_{NH₃}

SiH₄ : ضغط غاز السيليلين P_{SiH₄}

C₂H₄ : ضغط غاز الأثيلين P_{C₂H₄}

المقدمة:

بدأ الاهتمام بدراسة الأغشية الرقيقة قبل اكتشاف الليزر بكثير إذ تعد تقنية الأغشية الرقيقة واحدة من أهم التقنيات التي أسهمت في تطور دراسة أشباه الموصلات وأعطت فكرة واضحة عن العديد من خواصها الفيزيائية والكيميائية. ومن المعروف أن هناك أنواعاً من الأغشية الرقيقة ولكن نوع استخداماته وطرق تحضيره إلا أنه تم التركيز في السنوات الأخيرة على الأغشية المحضرة بطريقة الليزر الحاث على ترسيب البخار كيميائياً (Laser Induced Chemical Vapor Deposition (LICVD))، حيث تم استخدام هذه الطريقة لتحضير أغشية متعددة مثل (SiN, SiC) فضلاً عن أغشية Si [٢,١] . وقد انصب اهتمام الباحثين على دراسة الخواص البصرية لأغشية (SiCN) لما تمتلك من خصائص مهمة، إذ تتميز أغشية (SiCN) بصلادتها وفجوة طاقتها العريضة كما وإنها تُظهر خواصاً ميكانيكية وألكتروبصريّة ممتازة، فهي من المواد المقاومة للعوامل المؤكسدة وللتآكل، مما يجعلها ذات أهمية في كثير من التطبيقات، إذ تستخدم في التطبيقات الألكتروبصريّة في منطقتي الأشعة فوق البنفسجية (UV) والمرئية (Vis) (تحديداً عند الطول الموجي الأزرق)، كما تستخدم أغشية (SiCN) كأغطية وقائية للـ Hard Disk (Hard Disk) وتكمّن تطبيقاتها بصورة كبيرة في تقنيات الطلاء والألكترونيات الدقيقة - [٨- ٣] (Microelectronics).

لقد استخدمنا في هذا البحث طريقة (LICVD) لتحضير أغشية كاربيد السليكون بوجود غاز الأمونيا (SiCN) وبعد وجوده (SiC) ومن ثم دراسة خواصها البصرية .

ان هذه النتيجة تتفق مع Soto et al [9] ، إذ حضروا أغشية (SiC_xN_y, SiC) بطريقة التذرية (Ablation) باستخدام ليزر الأكسالير (KrF) فوجدوا أن الأغشية تمثل إلى الشفافية عند الضغوط العالية من غاز التتروجين . كما تتفق نتائجنا مع Machorro et al. [10] إذ وجدوا أن الأغشية تمثل إلى الشفافية عند زيادة المحتوى التتروجيني .

ثانياً:- فجوة الطاقة البصرية:
تعتبر فجوة الطاقة البصرية عاملًا مهمًا في تحديد أهمية الكثير من النباتات الالكترونية كالخلايا الشمسية والكواشف . لحساب فجوة الطاقة البصرية E_g ، تم استخدام العلاقة (٢) ، حيث تم رسم العلاقة بين $\alpha h\nu$ وطاقة الفوتون ($h\nu$) ، إذ تمثل $E_g^{1/2}$ نقطة تقاطع امتداد الخط المستقيم المرسوم بصورة مماسية لمنحنى الامتصاص مع محور طاقة الفوتون وتم اختيار قيمة مختلفة لـ r وكانت افضل قيمة (2) وهي تدل على حصول عملية الانتقال غير المباشر المرسوم

$$(\alpha h\nu) = B(h\nu - E_g)^r \quad \dots \dots \quad (2)$$

حيث:

α : معامل الامتصاص ، $h\nu$: طاقة الفوتون
 B : ثابت ، E_g : فجوة الطاقة البصرية
 r : معامل أسي يعتمد على نوع الانتقال

يوضح الشكل (4) تغير قيمة فجوة الطاقة البصرية E_g للأغشية SiCN مع قيمة العامل X ومن ملاحظة هذا الشكل يتبين أن فجوة الطاقة البصرية تزداد وتزاح نحو الطاقات العالية مع ارتفاع قيمة العامل X ، إذ وجد أن فجوة الطاقة البصرية للأغشية المحضرة بعدم وجود غاز الأمونيا (NH₃) أي عند قيمة العامل (SiC) $X=0$ تأخذ القيمة (1.6 eV) وتزداد لتأخذ القيم (1.8 , 1.7 eV) للأغشية المحضرة بوجود غاز الأمونيا وبالضغط 20 mbar و 50 mbar أي عند قيم العامل X (0.33, 0.13) على التوالي ، وكما موضح في الشكل (5) .

تم استخدام جهاز (UV-Vis) ذو المدى الطيفي nm (200-1100) لدراسة الخواص البصرية .

النتائج والمناقشة:

أولاً:- أطياف الامتصاصية والنفاذية:-

تم قياس أطياف الامتصاصية والنفاذية للأغشية SiC المحضرة بوجود غاز الأمونيا أي عند قيم العامل $X=0$ (0.33 , 0.13) وبعد وجوهه أي عند

يوضح الشكل (2) و (3) تغير طيف الامتصاصية والنفاذية للأغشية المحضرة وبالمواصفات المذكورة أعلاه مع الطول الموجي ضمن المدى الطيفي -1100 nm (400 ، على التوالي ، إذ يتضح من هذين الشكلين تأثير التتروجين في نقصان الامتصاصية وزيادة النفاذية بزيادة ضغط غاز الأمونيا ، ويمكن تفسير ذلك كالتالي:-

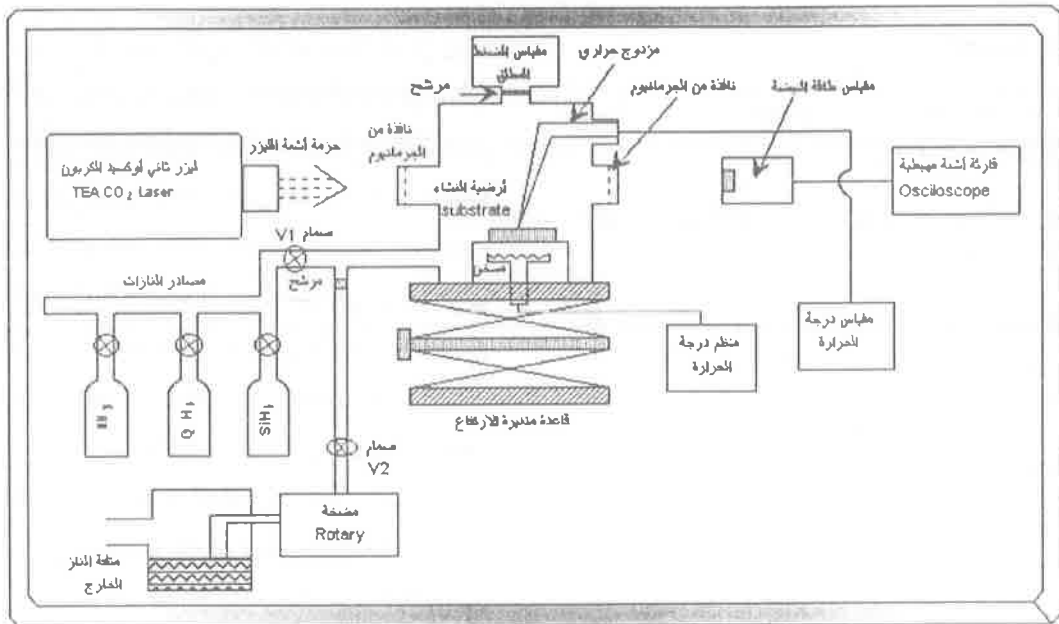
عند إدخال غاز الأمونيا وبالضغط 20 mbar ضمن عملية الترسيب يؤدي إلى احتمالية زيادة المحتوى الهيدروجيني للأغشية المترسبة أي زيادة ذرات Si-H والهيدروجين المرتبطة بذرات السليكون والنتروجين N-H والكربون C-H مما يعمل على تقليل الأواصر المتلية والذي يؤدي بدوره إلى تقليل المستويات الموضعية داخل فجوة الطاقة المحضورة بين حزمتي التكافؤ والتوصيل مما يقلل من امتصاصية الأغشية وزيادة نفاذيتها . أما عند زيادة ضغط غاز الأمونيا إلى 50 mbar فيؤدي هذا إلى زيادة المحتوى التتروجيني للأغشية المحضرة ، هذا يعني زيادة ذرات C-N والنتروجين المرتبطة بالسليكون Si-N والكربون C-N والذى يعني وجود تجمعات من SiN و CN ضمن تركيب الأغشية واللذان يكونان بدورهما ذات نفاذية اكبر وامتصاصية اقل . وعليه يتبعنا من هذه النتائج حدوث تغير قليل في النفاذية والامتصاصية (زيادة ونقصان على التوالي) عندما ($X=0.13$) وحدثت تغيير اكبر عندما ($X=0.33$) ، وهذا يعني ان الأغشية تمثل الى الشفافية بزيادة المحتوى التتروجيني (زيادة ضغط غاز الأمونيا) .

References

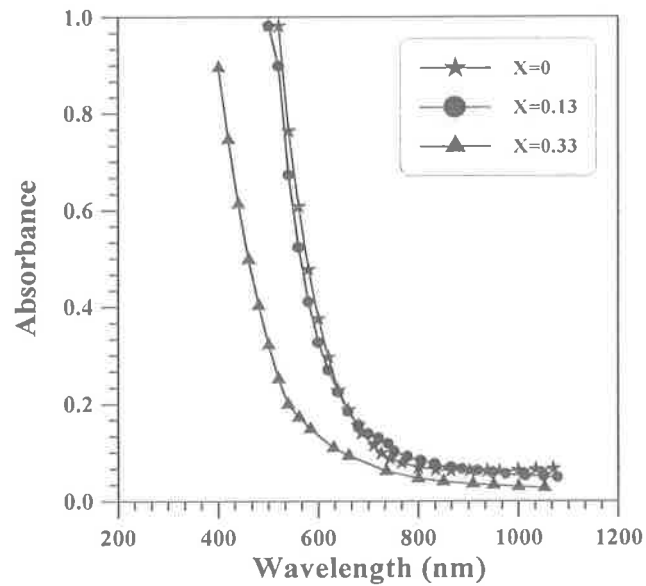
- [1] I.R. Herman , “ Chem. Rev. ” , 89(1989) .1323-1357
- [2] V.Drinek , J.Pola , “ Ceramics-Silikaty ” , 38 (1994) .37-43
- [3] R.Machorro , E.C.Samano , G.Soto & L.Cota , “Appl. Surf. Sci. ” , 127-129 (1998).564
- [4] K.H.Chen , J.-J.Wu , C.Y.Wen , L.C.Chen , C.W.Fan , P.F.Kuo , Y.F.Chen & Y.S.Huang , “ Thin Solid Films ” , 355-356 (1999).205
- [5] X.-C.Xiao , Y.-W.Li , L.X.Song , X.-F.Peng & X.F.Hu , “ Appl. Surf. Sci. ” , 156 (2000).155
- [6] C.H.Hsieh , Y.S.Huang , K.Ktionsg , C.W.Fan , Y.F.Chen , L.C.Chen , J.J.Wu & K.H.Chen , “ J. Appl. Phys. ” , 87 (2000).280
- [7] C.H.Hsieh , Y.S.Huang , P.F.Kuo , Y.F.Chen , L.C.Chen , J.-J.Wu , K.H.Chen & K.K.Tiong , “ Appl. Phys. Lett. ” , 76 (2000).2044
- [8] J.-J.Wu , C.-T.Wu , X.-C.Liao , T.-R.Lu , L.C.Chen , K.H.Chen , L.-G.Hwa , C.-T.Kuo & K.-J.Ling , ” Thin Solid Films ” , 355-356 (1999).417
- [9] G.Soto , E.C.Samano , R.Machorro & L.Cota , “J. Vac. Sci. Technol. A ” , 16 (1998).1311
- [10] R.Machorro , E.C.Samano , G.Soto & L.Cota , “Appl. Surf. Sci. ” , 127-129 (1998).565
- إن تفسير ذلك يعود إلى ما ذكرناه سابقاً ، إذ إن زيادة ذرات الهيدروجين المرتبطة بذرات C,N,Si (والمتأتية من دخول غاز الأمونيا وبالضغط mbar 20 ضمن عملية الترسيب) تعمل على تقليل الأواصر المتداخلة التي تؤدي بدورها إلى تقليل المستويات الموضعية داخل فجوة الطاقة البصرية مما يعمل على زيادة قيمتها وعند زيادة المحتوى النتروجيني للأغشية والناتج من زيادة ضغط غاز الأمونيا إلى 50 mbar يؤدي إلى تكون تجمعات من SiN و CN التي تكون ذات فجوة طاقة أكبر من فجوة الطاقة لـ SiC . كانت نتائجنا متوافقة مع ما توصل إليه Machorro et al. [10] ، إذ استخدمو طريقة التذرية وباستعمال ليزر (KrF) في تحضير أغشية SiC_xN_y وعندما وجدوا أن فجوة الطاقة البصرية للأغشية المحضرة بالفراغ تأخذ القيمة (2.3,1.85)eV عند تزداد لتأخذ القيم (1.6 eV) وتحضير الأغشية في جو من غاز النتروجين وعند الضغوط التالية (80,10)m torr على التوالي .

الاستنتاجات :

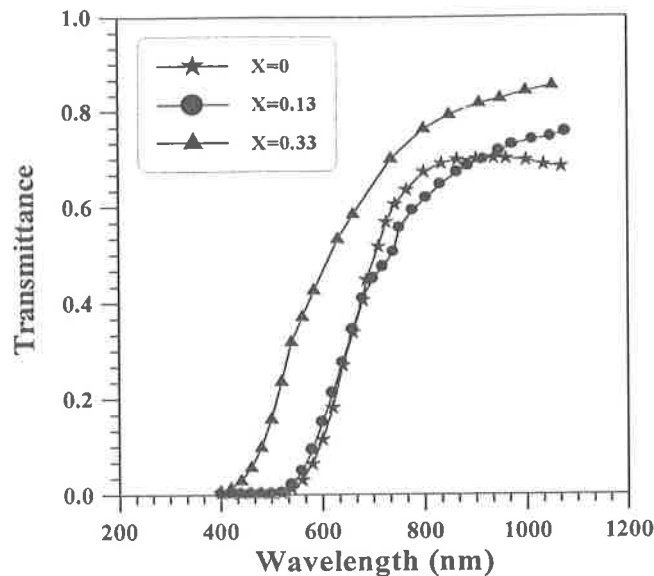
- يمكن تلخيص النتائج التي تم التوصل إليها بالآتي :-
- ١- حدوث تغير قليل في نفاذية وامتصاصية - زيادة ونقمان على التوالي - أغشية SiCN عند الضغوط الواطئة لغاز الأمونيا (20 mbar) وحدوث تغير أكبر عند الضغوط العالية للغاز . (50mbar)
 - ٢- تميل أغشية SiCN إلى الشفافية بزيادة المحتوى النتروجيني .
 - ٣- زيادة فجوة الطاقة البصرية بزيادة ضغط غاز الأمونيا (العامل X) .



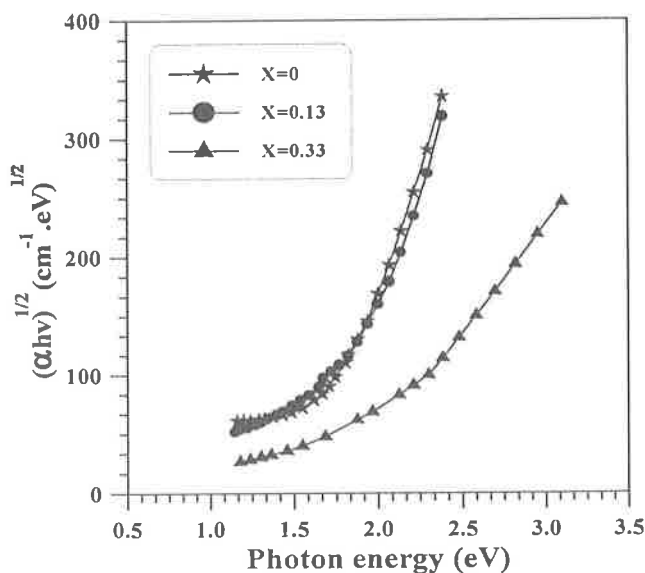
الشكل (١) مخطط توضيحي لمنظومة الترسيب



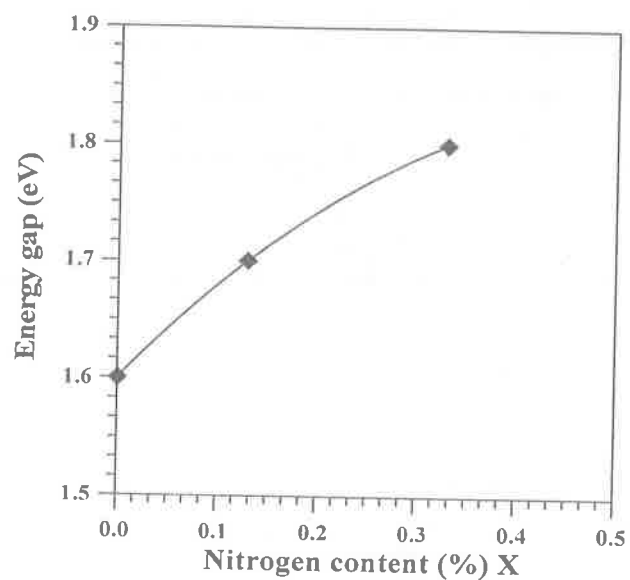
الشكل (٢) : يوضح طيف الامتصاصية كدالة للطول الموجي
لأغشية SiCN (المحضره عند قيم $X = 0.33, 0.13, 0$)



الشكل (٣) : يوضح طيف النفاذية كدالة للطول الموجي
لأغشية SiCN (المحضره عند قيم $(0.33, 0.13, 0)X$)



الشكل (٤) : يوضح تغير $(\alpha h\nu)^{1/2}$ كدالة لطاقة الفوتون
لأغشية SiCN (المحضره عند قيم $(0.33, 0.13, 0)X$)



الشكل (٥) : يوضح تغير قيمة فجوة الطاقة
كداة للمحتوى النتروجيني لاغشية SiCN